

祁钦发 著

# 给水排水 工程施工 技术探新



HUIPAISHUIGONGCHENGSHIGONGJISHUTANXIN



中国建筑工业出版社

# 给水排水工程 施工技术探新

祁钦发 著

中国建筑工业出版社

(京)新登字035号

图书在版编目(CIP)数据

给水排水工程施工技术探新 / 邱铁发著。—北京：中国  
建筑工业出版社，1997

ISBN 7-112-03234-2

I . 给… II . 邱… III . ①给水工程 - 工程施工 - 施工  
技术 ②排水工程 - 工程施工 - 施工技术 IV . TU99

中国版本图书馆 CIP 数据核字 (97) 第 04284 号

给水排水工程施工技术探新

邱铁发 著

\*

中国建筑工业出版社出版、发行 (北京西郊百万庄)

新华书店 经销

北京市彩桥印刷厂印刷

\*

开本：787×1092 毫米 1/32 印张：6 字数：131 千字

1997年9月第一版 1997年9月第一次印刷

印数：1-6000 册 定价：10.00 元

ISBN7-112-03234-2

TU·2483 (8377)

版权所有 翻印必究

如有印装质量问题，可寄本社退换

(邮政编码 100037)

本书探讨了近年来给水排水工程施工的一些新技术，采用理论与实践相结合的方法，既有施工中成功的经验和出现的问题等实践依据，又运用了与给水排水工程有关的基础理论和专业理论进行论证。

这些新技术包括基坑边坡、井点降水、抗渗混凝土施工、混凝土抗渗试验、水池冷缩-干缩裂缝、水池满水试验、消化池气密性试验、给水管道水压试验、排水管道水准测量及施工技术规范等十个方面。

本书适用于从事给水排水和环境保护专业的施工、设计、运行管理人员以及大专院校师生。

## 前　　言

在此科学技术快速发展的时代，给水排水工程施工的新技术不断涌现。本书所探讨的新技术包括创新、更新和革新。创新是对给水排水工程施工中长期存在尚未解决的技术问题，创立了新的科学的解决方法；更新是打破施工中长期应用的技术成规，更替为新的先进的技术；革新是对有局部问题或缺陷的施工技术，改革和补充为新的比较完善的技术。本书在探讨这些新技术时，采用了理论与实践相结合的方法，既有施工中的成功经验和出现的问题等实践依据，又运用与给水排水工程有关的基础理论和专业理论进行了论证。施工经验提高到理论的认识，才有普遍的指导意义。

本书所探讨的给水排水工程施工新技术，涉及基坑边坡、井点降水、抗渗混凝土施工、混凝土抗渗试验、水池冷缩-干缩裂缝、水池满水试验、消化池气密性试验、给水管道水压试验、排水管道水准测量及施工技术规范等十个方面。这些新技术新在何处？现作如下简介。

### (一)

国家土方规范规定了硬塑轻亚粘土、亚粘土和粘土，深度在5m以内的基坑边坡最陡坡度，但可塑粘性土的边坡坡度如何选定？深度4m以内、3m以内的基坑边坡坡度又如何选定？针对这一长期存在的技术问题，本书根据土坡稳定理论，运用条分法计算成果，绘制成粘性土基坑边坡稳定安

全系数图，并分析了基坑深度及土的抗剪强度指标、边坡坡度等与边坡稳定安全系数的关系，为不同土质不同深度的基坑边坡坡度，提供了新的科学的选定方法。

## (二)

井点降水有许多施工技术成规，诸如在井点类型的选用上，土层渗透系数  $10 \sim 250\text{m/d}$ 、降水深度大于  $15\text{m}$  时，适用深井井点；单层轻型井点的降深范围为  $3 \sim 6\text{m}$ ；在井点安装上，轻型井点的井点孔口应用粘性土壤塞；轻型井点干管沿抽水水流方向应有上仰的坡度。这些成规正确吗？还适用吗？根据各地实践经验，本书又从理论上证实，将这些成规一一予以打破，更新了原来的观点和方法。

## (三)

抗渗混凝土施工技术的关键何在？如何才能确保混凝土的抗渗性？这是一项一直在逐步探索前进的施工技术问题。本书对抗渗混凝土的材料、配比、浇筑、养护、季节性施工等施工技术对混凝土渗透性的影响，进行了逐项分析论证，从而对抗渗混凝土各项施工技术的实际意义，有了比较深入的理解，并可掌握抗渗混凝土施工技术的关键。在提高这些认识的基础上，同时结合各地的实际施工经验，提出施工技术组织措施应包括的主要内容，使这一施工技术取得了新的较大的进展，从而混凝土的抗渗性更有保证。

## (四)

混凝土“抗渗标号”的含义是什么？它与渗透系数有什么关系？现行的抗渗试验对这两点基本概念都不太清楚，而

且试验的准确性较差，试验方法劳神费时，确有改革必要。本书根据渗透理论，结合现行试验方法进行论证，提出混凝土抗渗性能改用其渗透系数来表达的新建议，同时提出能直接读取渗水量的“混凝土渗透系数试验仪”的初步设计，以试验结果确定混凝土的“渗透等级”，取代现行的“抗渗标号”，使抗渗试验技术彻底更新。

### (五)

混凝土水池的冷缩-干缩约束应力如何计算？冷缩-干缩裂缝如何防止？针对这一长期未得解决的问题，本书根据混凝土冷缩-干缩理论及应力应变理论，结合水池结构、施工情况及有关试验资料，推导出水池池壁冷缩-干缩约束应力计算公式，并提出相应的防裂措施，使混凝土水池的冷缩-干缩裂缝可以预知预防。

### (六)

有的水池在满水试验中测得的渗水量竟是零，甚至得负值，成为一时不解之谜。本书根据现场实测和理论分析得出结论，主要是由于试验初读与末读（读取水位）间池内水温变化，使水的体积发生胀缩所致，应消除温差影响，以保证所测渗水量的准确性。同时提出了具体的水温测量方法和调整计算渗水量的计算公式。

### (七)

消化池气密性试验，按现行施工技术规范规定，要消除试验期大气压变化及气室内气温变化对所测气压降的影响。气态方程包括气体的绝对压力、绝对温度和体积三个因素。

气室体积在试验期会不会发生变化？其变化对所测气压降能有多大影响？本书根据现场调查分析论证，提出消除消化池气室体积变化影响的必要性，从而进一步提高气密性试验的准确性。

### (八)

在给水管道水压试验中，渗水量与降压有什么关系？管内存气对试压有多大影响？怎么能知道管内存有多少气？石棉水泥接口在试压时会不会遭受破坏？以已铺设的石棉水泥接口管段作试压后背是否安全？对这些问题一直没有明确的认识。本书对承插普压铸铁管水压试验中的一些力学关系进行了全面分析，解答了以上问题。全面掌握水压试验中的力学关系，使在试压中发现的问题处理自如，从而保证了试验的准确性和试验的顺利进行。

### (九)

排水管道施工水准测量的闭合差，长期没有统一的限差标准，其标准定在什么水平上较妥？本书分析了施工水准测量误差对排水管道重力流流量的影响，分析了排水管道使用上对施工水准测量精度的要求，同时考虑城市整体建设的需要和施工测量技术可能达到的水平，提出科学的限差标准，已被国家采纳，列入施工技术规范。

### (十)

施工技术规范的不断修订，正是由于施工技术不断创新的结果。本书对《给水排水构筑物施工及验收规范》提出的修订建议，就是根据理论与实践分析，指出我们的施工技术

已突破规范的规定，提前为规范的修订提供了依据。例如规范只规定在水池满水试验中进行外观检查“不得有漏水现象”，本书论证认为也“不得有渗水现象”。实际调查了许多工程，绝大部分都可做到，所以应对规范修订补充。

本书所探讨的创新、更新和革新新技术，有的已比较广泛地推行，有的则是刚刚起步。一个新的技术观点又常常需要经过若干周折甚至反复，才能最后成立。破旧立新，才表达事物的进步。本书出版，就是希望有更多的施工单位试行和探讨这些新技术，同行技术人员、专家和学者参与讨论这些新技术。通过试行和讨论，使这些新技术得到进一步修订和完善，逐步为广大给水排水工程建设者所承认，所采用，为国家所承认，重要的列入国家规范。这将使给水排水工程施工技术前进一大步，从而对提高工程质量，提高工程效益，起到一定的作用。

## 目 录

一、粘性土基坑边坡坡度的科学选定方法 .....	1
二、井点降水打破成规 .....	19
三、掌握技术关键，制订完整措施， 确保抗渗混凝土的抗渗性能 .....	36
四、混凝土抗渗性能改用其渗透系数来表达 .....	48
五、钢筋混凝土水池冷缩-干缩裂缝可以 预知预防 .....	60
六、保证水池满水试验所测渗水量的准确性 和允许渗水量标准的科学性 .....	83
七、消除消化池气密性试验气室体积变化的影响， 进一步提高试验的准确性 .....	100
八、全面掌握给水管道水压试验中的力学关系 .....	107
九、排水管道施工水准测量制订了科学的 闭合差限差标准 .....	129
十、对《给水排水构筑物施工及验收规范》的 修订建议 .....	139
附录一 粘性土基坑边坡稳定安全系数 计算程序及计算成果 .....	147
附录二 国家标准（GBJ82—85）抗渗性能试验 及其条文说明 .....	177

# 一、粘性土基坑边坡坡度的科学选定方法

## 前　　言

给水排水等工程的施工基坑（或沟槽以下同），当为粘性土并且深度较浅时，边坡可作成直立壁，不加支撑；基坑较深时，除受某种条件限制，边坡作成直立壁并加支撑外，一般还是采取放坡的方法。边坡过缓，将增加施工的土方量，造成浪费；边坡偏陡，将不能保证施工安全。如何选定边坡坡度，国家土方规范有规定：深度在5m内的基坑边坡最陡坡度，当坡顶无荷载时，硬塑的轻亚粘土为1:0.67（高:宽，以下同），硬塑的亚粘土、粘土为1:0.33。这些规定是比较粗略的，在实际应用中还有许多值得探讨的问题。轻亚粘土和亚粘土、粘土，其塑性（指数）都有一个范围。规范规定的边坡坡度，对该土类的塑性较小或较大均适用，对塑性较大者则偏于安全，边坡可放陡一些，能放陡多少？规范规定是基坑深度在5m以内的最陡坡度，对4m、3m或2m等深度较浅的基坑，边坡当然可放陡一些，又能放陡多少？规范只规定了硬塑条件下的边坡，如是可塑，边坡坡度又如何选定？规范中还说明，当有成熟经验时，可不受规定的限制。实际上也确有许多地区根据经验采用了陡于规范规定的边坡坡度。专靠经验，并没有很大的把握，如能再从理论上对各种土质不同边坡坡度的稳定性有所认识，理论联系实际去选定边坡坡度，就可运用自如了。本文根据土坡稳定

理论，采用条分法，运用电子计算机，计算了粘性土不同抗剪强度，不同边坡的稳定安全系数，绘制成粘性土基坑边坡稳定安全系数图，并分析了基坑深度及土的抗剪强度指标、边坡坡度等与边坡稳定安全系数的关系，为不同土质不同深度的基坑边坡坡度，提供了新的科学的选定方法。

### (一) 粘性土基坑边坡稳定安全系数图

计算粘性土的边坡稳定安全系数，有许多方法，其中条分法原理简单，又便于分析问题，应用最为广泛。本文就是根据条分法计算成果，绘制了一张粘性土基坑边坡稳定安全系数图。根据此图可以很快地查得各种土质不同边坡的稳定安全系数，供施工中分析边坡、选定边坡使用。

#### 1. 制图依据

条分法的力学关系如图 1-1 所示。

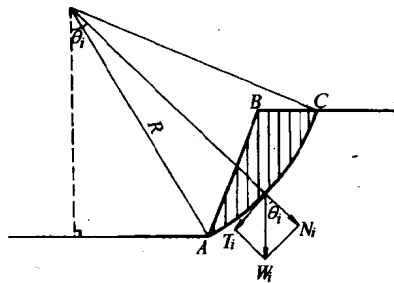


图 1-1 条分法基坑边坡滑动面力学关系图

边坡稳定安全系数就是边坡的抗滑力矩与滑动力矩之比。其计算式如下：

$$K = \frac{M_r}{M_s}$$

$$M_t = R(\tan \varphi \sum_{i=1}^n W_i \cos \theta_i + C \hat{AC})$$

$$M_s = R \sum_{i=1}^n W_i \sin \theta_i$$

将  $M_t$ 、 $M_s$  式代入前式，得：

$$K = \frac{\tan \varphi \sum_{i=1}^n W_i \cos \theta_i + C \hat{AC}}{\sum_{i=1}^n W_i \sin \theta_i} \quad (1-1)$$

式中  $K$  ——边坡稳定安全系数；

$M_t$  ——抗滑力矩 ( $MN \cdot m$ )；

$M_s$  ——滑动力矩 ( $MN \cdot m$ )；

$R$  ——滑动圆半径 (m)；

$\varphi$  ——土的内摩擦角 ( $^\circ$ )；

$C$  ——土的内聚力 ( $MN/m^2$ )；

$W_i$  ——各土条的重力 ( $MN/m^3$ )；

$\theta_i$  ——各土条重力方向与滑动面垂直方向的夹角 ( $^\circ$ )；

$\hat{AC}$  ——滑动面的弧长 (m)。

公式虽然简单，因要分条计算，又要计算许多不同弧面，求其稳定性最差者，计算一个数据就相当费时。要计算不同土质、不同边坡的大量数据，必须使用电子计算机。由于编制计算机程序的需要，将公式 (1-1) 进一步整理简化如下：

$$K = \tan \varphi K_\varphi + C K_c \quad (1-2)$$

式中

$$K_{\varphi} = \frac{\sum_{i=1}^n W_i \cos \theta_i}{\sum_{i=1}^n W_i \sin \theta_i}$$

$$K_c = \frac{\hat{AC}}{\sum_{i=1}^n W_i \sin \theta_i}$$

这样每个滑动弧面的  $K_{\varphi}$  和  $K_c$  值算出后，将便于对不同的  $\varphi$  值和  $c$  值在计算过程中重复使用。

式中  $W_i$  是各土条的重力，即土条长、宽、高和单位体积重力 ( $r$ ) 的乘积。为使不同基坑深度 ( $H$ ) 划分的条数相等，土条宽度取  $0.05 H$ 。由于土条宽度不大，土条高度即按土条的中心高度 ( $H_t$ ) 近似计算。土条的长度均为 1m。

$$W_i = 1 \times 0.05 H \cdot H_t \cdot r$$

据此，式 (1-2) 中的  $K_{\varphi}$  及  $K_c$  二式，则可进一步简化如下：

$$K_{\varphi} = \frac{\sum_{i=1}^n H_t \cos \theta}{\sum_{i=1}^n H_t \sin \theta}$$
$$K_c = \frac{\hat{AC}}{0.05 H_r \sum_{i=1}^n H_t \sin \theta}$$

式中  $K_{\varphi}$  —— 用于内摩擦角  $\varphi$  的稳定系数；

$K_c$  —— 用于内聚力  $C$  的稳定系数；

$H$  —— 基坑深度 (m)；

$H_t$  —— 各土条的中心高度 (m)；

$r$  ——土的单位体积的重力 ( $\text{MN}/\text{m}^3$ )。

本文计算中土的容重平均取  $2t/\text{m}^3$ , 则:

$$r = 0.0196(\text{MN}/\text{m}^3)$$

$r$  值代入  $K_c$  式, 则:

$$K_c = \frac{1020 \hat{AC}}{H \sum_{i=1}^n H_i \sin \theta}$$

根据上式按基抗深度 5m 计算的成果, 绘成粘性土基坑边坡稳定安全系数图如图 1-2。粘性土基坑边坡稳定安全系数计算程序及计算成果列于附录, 以供对本图进行核对和进一步探讨之用。也可直接运用计算成果表查算稳定安全系数。

图中的粘性土塑性线 (坚硬、硬塑、低可塑、高可塑、软塑、流塑), 可供根据  $\varphi$  值和  $C$  值查图时, 对土的塑性有个基本了解。这一组线是根据《地基与基础》一书介绍的, 根据已有资料计算的粘性土抗剪强度指标  $\varphi$ 、 $C$  的统计平均值绘制。其数值见表 1-1。

粘性土的  $\varphi$ 、 $C$  值

表 1-1

$I_L$	$\varphi(^{\circ})$			$C (\text{MPa})$		
	轻亚粘土	亚粘土	粘土	轻亚粘土	亚粘土	粘土
< 0	28	25	22	0.020	0.060	0.100
0 ~ 0.25	26	23	20	0.015	0.040	0.060
0.25 ~ 0.50	24	21	18	0.010	0.025	0.040
0.50 ~ 0.75	20	17	14	0.005	0.015	0.020
0.75 ~ 1.0	18	13	8	0.002	0.010	0.010
> 1.0	≤14	≤10	≤6	0.001	≤0.005	≤0.005

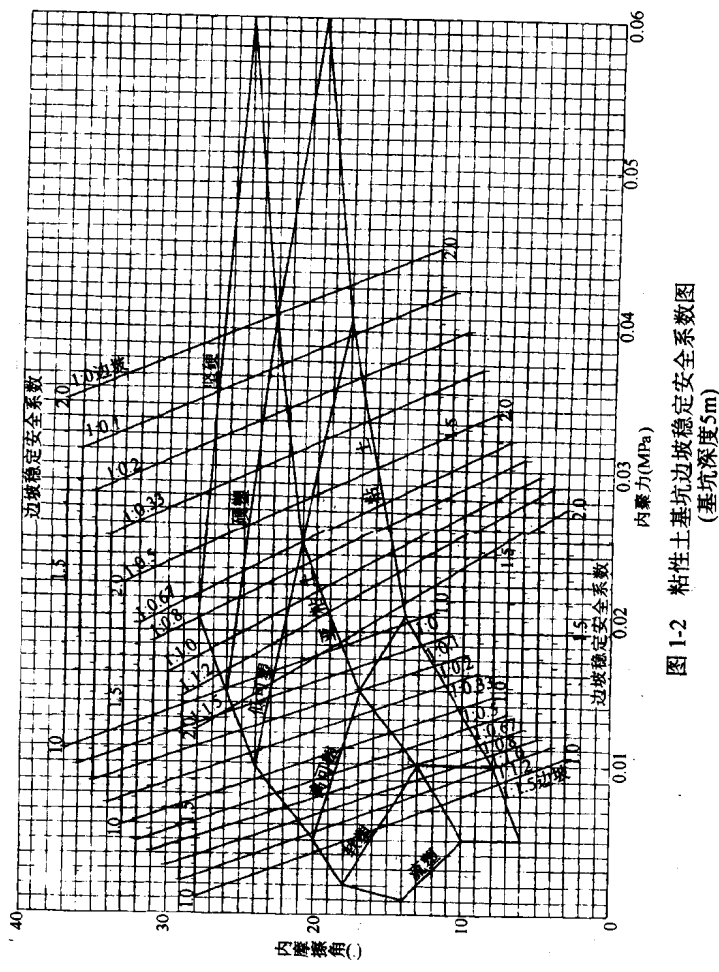


图 1-2 粘性土基坑边坡稳定性安全系数图  
(基坑深度 1m)

## 2. 本图的使用方法

现将图 1-2 的使用方法举例介绍如下。

设硬塑轻亚粘土的内聚力  $C = 0.015 \text{ MPa}$ , 内摩擦角  $\varphi = 26^\circ$ 。在图中找出它的  $x, y$  坐标点  $(0.015, 26)$ , 用直尺靠近此点, 并使直尺大致平行于图中的边坡线。当取边坡  $1:0.67$  时, 移动直尺, 使  $1:0.67$  框图的上、下“边坡稳定安全系数”标尺的相同值, 与坐标点  $(0.015, 26)$  在一直线上, 得稳定安全系数  $K = 1.52$ 。如取边坡  $1:0.5$ , 则  $K = 1.39$ 。现将国家土方规范规定的硬塑轻亚粘土基坑边坡的  $1:0.67$ , 根据图 1-2 查得的稳定安全系数如表 1-2。

硬塑轻亚粘土基坑边坡

( $1:0.67$ ) 的稳定安全系数

表 1-2

$\varphi(^{\circ})$	$C(\text{MPa})$	$K$
27	0.010	1.22
26	0.015	1.52
25	0.020	1.81

从上表来看, 硬塑轻亚粘土如一律采用  $1:0.67$  的边坡, 对塑性指数较大者偏于安全。至于硬塑亚粘土及粘土如按规范采用  $1:0.33$  的边坡, 其安全系数均大于 2, 显然有点保守了。

## 3. 本图的误差

本图的误差, 首先在于条分法本身的误差, 其次是制图误差。条分法对土质、滑动面等有许多假设条件, 而且是按平面问题考虑, 《地基与基础》一书介绍, 其计算结果误差可能在  $10\% \sim 15\%$ 。至于制图, 根据计算结果数据分析, 每种边坡的同一稳定安全系数, 在  $C, \varphi$  这个坐标图上都基